

الإجهادات المتبقية في الصفائح الخرسانية المسلحة بعد التسخين والتبريد

المهندس المدنى/ تحسين طه عبدالكريم

رقم الانتساب / 5247

الخلاصة

تتضمن الدراسة الحالية استخدام نموذج رياضي لتحليل الصفائح الخرسانية المسلحة السميكة في أثناء تعرضها لدرجات حرارة عالية ومن ثم استقصاء تغير سلوك تلك الصفائح بعد تبریدها الى درجات الحرارة الاعتيادية ، وقد تم استخدام طريقة الفروقات المحددة وتقنية الاسترخاء الديناميكي في حساب انتشار وتدرج الحرارة المؤثرة ضمن سبك الصفيحة المقسمة الى مجموعة شرائح وبتأثير قوى الانضغاط ثانى المحور واعتماد نظرية Reissner's للازاحات الصغيرة والطريقة المعدلة للزيادات المحددة في التحليل لغرض تعديل السلوك اللاخطي للصفيحة بتأثير درجات الحرارة العالية والذي يتضمن التشقق والتهشم في الخرسانة والخضوع في العديد . وتم اختبار اختلاف تأثير سلوك الصفيحة مع موقع الحرارة المؤثرة بالنسبة لسطح نطاق الانضغاط وسطح نطاق الشد ، ومقاومة الانضغاط الاصلية للخرسانة المستخدمة (اعتيادية المقاومة وعالية المقاومة) ، وكمية ونوع حديد التسليح ، وسمك الصفيحة والغطاء الخرساني ، اضافة الى تأثير مختلف المستويات الحرارية ومدة التعرض لها .

الكلمات الدالة : صفائح ، خرسانة مسلحة ، تحليل لامتحن ، حرارة عالية .

Introduction

المقدمة

على الرغم من اعتبار الخرسانة وحديد التسليح من المواد غير القابلة للاحتراق الا انه عند التعرض لدرجات حرارة عالية وبعد التبريد الى درجات الحرارة الاعتيادية تحدث تغيرات وقائية ودائمة في خواصها الفيزيائية والهندسية فضلاً عن الخطورة المتوقعة من سلوكها الانشائي على المدى البعيد ، استخدم الباحثان (Park et al.,1999) طريقة العناصر المحدودة في التحليل المتضمن للسلوك اللاخطي المادي والهندسي في دراستهما التحليلية للتعرف على سلوك الصفائح الخرسانية المنبسطة (R.C. Plate) قدم الباحث (Mohamedbhai 1986) دراسة تناول فيها تأثير معدل ومرة التسخين والتبريد على مقاومة الانضغاط المتبقية للخرسانة بعد تعرضها لدرجات حرارة عالية مستخدماً خلطات خرسانية ينبع مختلطة فرقاً عن سطحية والهندي لـ (Mohamedbhai 1986) ، ولكن هذا التأثير يقل كلما ارتفعت درجة الحرارة المؤثرة ، كما تبين ان الجزء الاكبر من فقدان مقاومة الانضغاط يحصل عند مدة تعرض للحرارة العالية تقدر بساعتين ، وان تأثير معدل التسخين والتبريد كان واضحاً عند درجات الحرارة التي تقل عن 600°C ويقل تأثيره عندما تتجاوز درجة الحرارة المؤثرة 600°C فاكثر . وقد ذكر الباحث (Holmes et al.,) في دراستهم ان نسبة فقدان في مقاومة الشد القصوى واجهاد الخضوع لحديد التسليح الاعتيادي تصل الى 50% من قيمتها الاصلية عند التعرض لدرجات حرارة تزيد عن 500°C وان الحديد مسبق الاجهاد يبدي حساسية اكبر عند تعرضه لدرجات الحرارة العالية حيث تبين ان هناك تغيراً ملحوظاً في خواصه بعد التعرض لدرجة حرارة 100°C .

استخدم الباحث (Huang et al.,1999) اسلوب التحليل اللاخطي باستعمال طريقة شرائح العناصر المحدودة (Layered Finite Element) للتعرف على سلوك الصفائح الخرسانية المسلحة المعرضة لدرجات حرارة عالية وبتأثير التحميل ثانى المحور . توصل الباحث (Said 1999) في دراسته النظرية عن سلوك الصفائح الخرسانية المسلحة اثناء تعرضها لدرجات الحرارة العالية باستخدام طريقة الفروقات المحددة الى ان مقاومة الصفيحة تختلف بالاساس على شدة الحرارة المؤثرة ومدة التعرض لها ، وان التعرض لدرجات الحرارة العالية يؤثر بصورة كبيرة على اداء الصفائح الخرسانية المسلحة من خلال اتلاف المواد المكونة للصفيحة

الحرارة المؤثرة

بعد فحص الحريق القباسي (Standard Fire Test) والمسمى بـ ISO834 (أو ASTM 119) والمستخدم في تحليل وتصميم مقاومة الوحدات البنائية للحرائق من اهم الفحوصات المقبولة عالمياً لواقع التعرض الفعلي للحرارة العالية . ولصياغة توازن الطاقة الحرارية بصيغة الرموز ، تم تأشير عدد الزيادات في الوقت بالرمز (t) والموقع بالرمز (n) . وتكون الصيغة الجبرية لتوازن الحرارة (Krieth 1973) بالشكل الآتي :

$$T_n^{t+1} = T_n^t \left[1 - 2 \frac{\Delta \theta k}{C_p \rho \Delta x^2} \right] + \frac{\Delta \theta k}{C_p \rho \Delta x^2} (T_{n-1}^t + T_{n+1}^t) \quad \dots \dots \dots (1)$$

وتشمل حالة التحديد (Boundary Condition) حرارة السطح غير المعرض للحرارة المؤثرة وسلوك انتقال الحرارة بين سطح التموج والمحيط الخارجي عند درجة الحرارة T_∞ خلال وحدة السطح، مع فرضيات ان السطح تعرض الى دفق حراري (Heat Flux) لكل وحدة مساحة ، عندها يمكن التعبير عن درجة حرارة السطح غير المعرض للحرارة المباشرة المؤثرة بالصيغة الآتية :

$$T_o^{t+1} = T_o^t \left[1 - \Delta \theta \left(\frac{2k}{C_p \rho \Delta x^2} + \frac{2h'}{C_p \rho \Delta x} \right) \right] + \frac{2h' \Delta \theta}{C_p \rho \Delta x} T_\infty^t + \frac{2k \Delta \theta}{C_p \rho \Delta x^2} T_1^t + Q_o^t \frac{2 \Delta \theta}{C_p \rho \Delta x} \quad \dots \dots \dots (2)$$

حيث ان : حيث ان :
 T_0 : درجة حرارة الفرن الابتدائية (C°) T : درجة حرارة الفرن (C°) عند الوقت t
 δ : معامل الانتشار الحراري t : الوقت بالدقائق .
 C_p : الحرارة النوعية ($J/kg \cdot C^\circ$) k : معامل التوصيل الحراري ($W/m \cdot C^\circ$)
 ρ : الكثافة (kg/m^3) θ : الوقت بالساعات

$$T_\infty^{t+1} : \text{درجة الحرارة اللاحقة عند السطح } (C^\circ) \quad (C^\circ) : \text{درجة حرارة الجو الاعتيادية } (C^\circ) \\ Q_o : \text{معامل التوصيل الحراري لوحدة السطح } (W/m \cdot C^\circ) \quad h' : \text{الدفق الحراري } (W/m^2)$$

تستخدم المعادلتان (1) و (2) في ايجاد توزيع الحرارة ضمن سمك الصفيحة وعند السطح غير المعرض للحرارة العالية على التوالي مع مراعاة استخدام مختلف الحدود والظروف عند السطح غير المعرض .

Materials Constitutive Relationships

العلاقات التكوينية للمادة

تنتأثر مقاومة الانضغاط والشد ومعامل المرنة للخرسانة الاعتيادية والخرسانة عالية المقاومة (H.S.C) كثيراً بتغير درجات الحرارة ، حيث ان ارتفاع درجات الحرارة يؤثر غالباً بشكل سلبي على القيمة المتبقية لمقاومة انضغاط الخرسانة ، وتنخفض هذه القيم كثيراً في اثناء تعرض الخرسانة الى درجات حرارة عالية اما بعد تبريد الخرسانة الى درجات الحرارة الاعتيادية فان القيمة المتبقية لمقاومة الانضغاط والشد ومعامل المرنة تنخفض عما هي عليه في اثناء مرحلة التسخين (Weigler et al., 1972) كما موضح في الاشكال (1,2,3) (Weigler et al., 1972) ويلاحظ ان النسبة المتبعة من مقاومة الانضغاط ومقاومة الشد ومعامل المرنة للخرسانة عالية المقاومة تكون اكثر (Habeeb et al., 2000) .

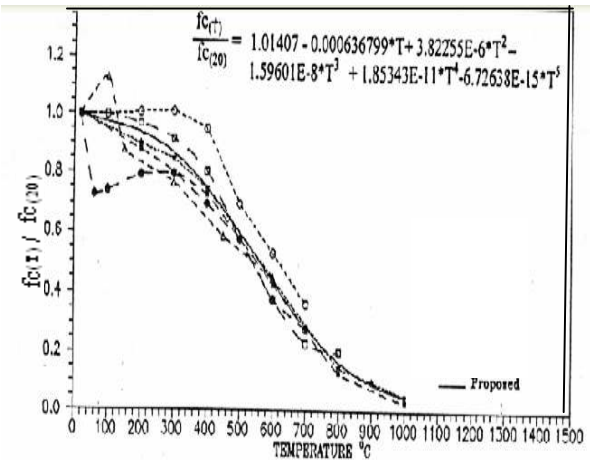
في الدراسة الحالية ، تم اقتراح نماذج المنحنيات الاشكال (1,2,3) لتمثيل نسبة الانخفاض الحاصلة في مقاومة الانضغاط والشد ومعامل المرنة في اثناء التعرض لدرجات الحرارة العالية ، وبعد التبريد الى درجات الحرارة الاعتيادية لنوعي الخرسانة اعтиادية المقاومة وعالية المقاومة وفق اقتراح الباحثين السابقين بهذا الشأن .

وتم تطوير مغلق الفشل المقترن من قبل (Liu et al., 1972) بحيث يتضمن ادخال تأثير درجات الحرارة العالية على الخرسانة اعтиادية المقاومة في اثناء مدة التعرض للحرارة العالية ، والخرسانة اعтиادية المقاومة وعالية المقاومة بعد التبريد الى درجات الحرارة الاعتيادية كما موضح في الشكل (4) ، وان الابعاد بين هذه المستويات محكمة بنسب الانخفاض في مقاومة انضغاط الخرسانة بسبب التأثير بدرجات الحرارة العالية ، ويمكن التعبير عن مغلق الفشل عند اي درجة حرارة بصيغة المعادلات الرياضية الآتية :

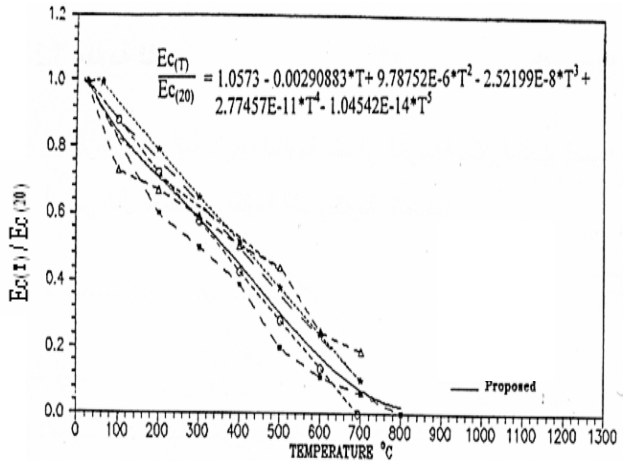
$$\alpha < 0.2 \quad \frac{\sigma_p}{\sigma_{oT}} = 1 + \frac{\alpha}{1.2 - \alpha} \quad \dots \dots \dots (3)$$

$$0.2 \leq \alpha \leq 1.0 \quad ; \quad \frac{\sigma_p}{\sigma_{oT}} = 1.2 \quad \dots \dots \dots (3)$$

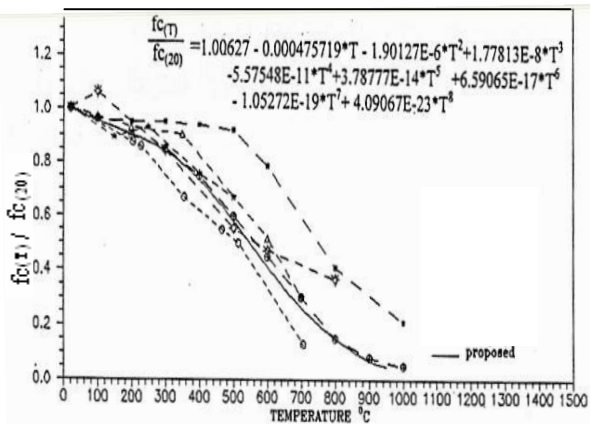
$$1.0 \leq \alpha \leq 5.0 \quad ; \quad \frac{\sigma_p}{\sigma_{oT}} = \frac{1.2}{\alpha}$$



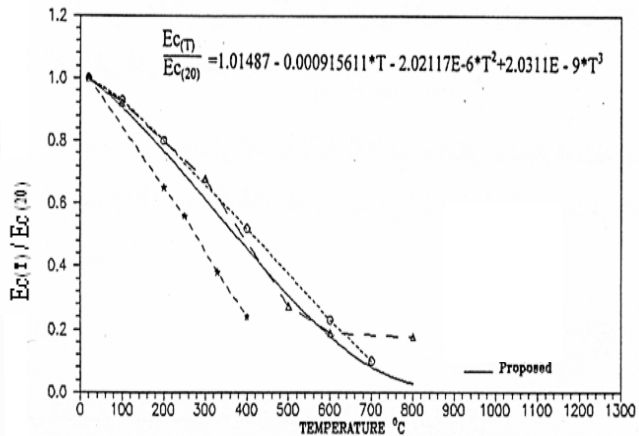
شكل (1-ا) تغير مقاومة انضغاط الخرسانة اعتيادية المقاومة مع الحرارة (أثناء التسخين)



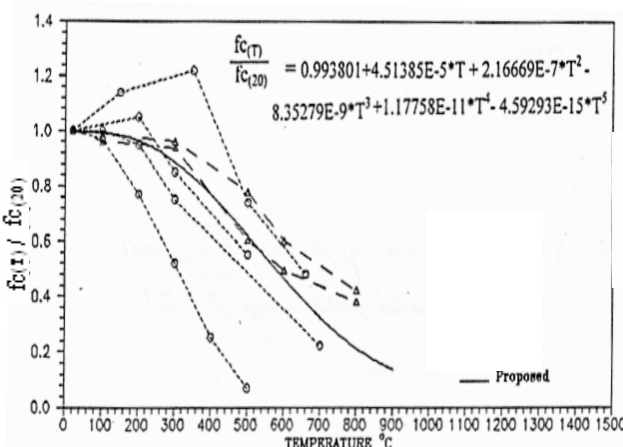
شكل (2-ا) تغير معاير المرونة الخرسانة اعتيادية المقاومة مع الحرارة (أثناء التسخين)



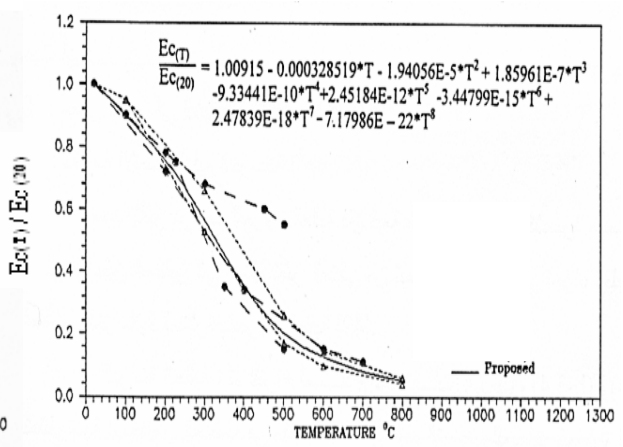
شكل (1-ب) تغير مقاومة انضغاط الخرسانة اعتيادية المقاومة مع الحرارة (بعد التبريد)



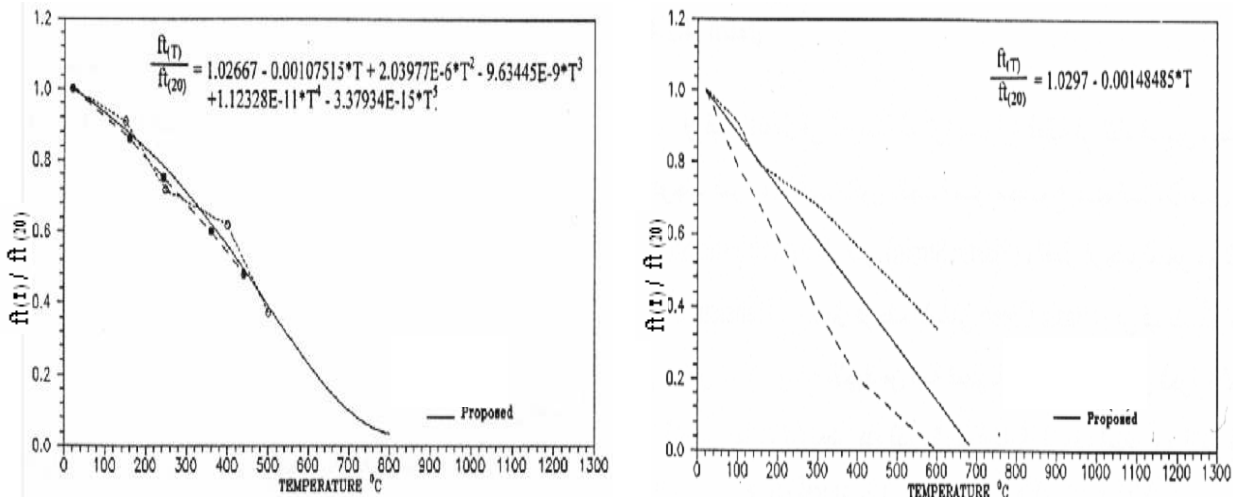
شكل (2-ب) تغير معاير المرونة الخرسانة اعتيادية المقاومة مع الحرارة (بعد التبريد)



شكل (1-ج) تغير مقاومة انضغاط الخرسانة عالي المقاومة مع الحرارة (بعد التبريد)

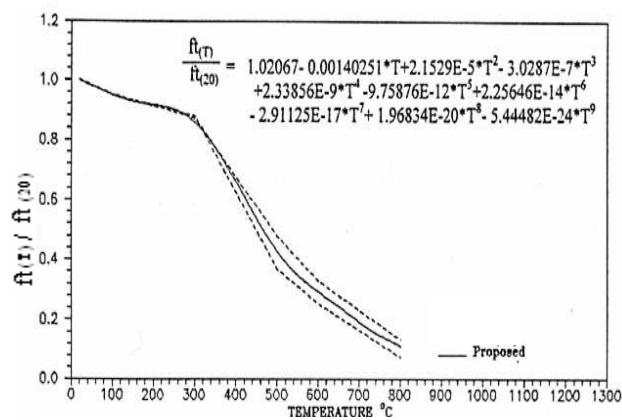


شكل (2-ج) تغير معاير المرونة الخرسانة عالي المقاومة مع الحرارة (بعد التبريد)



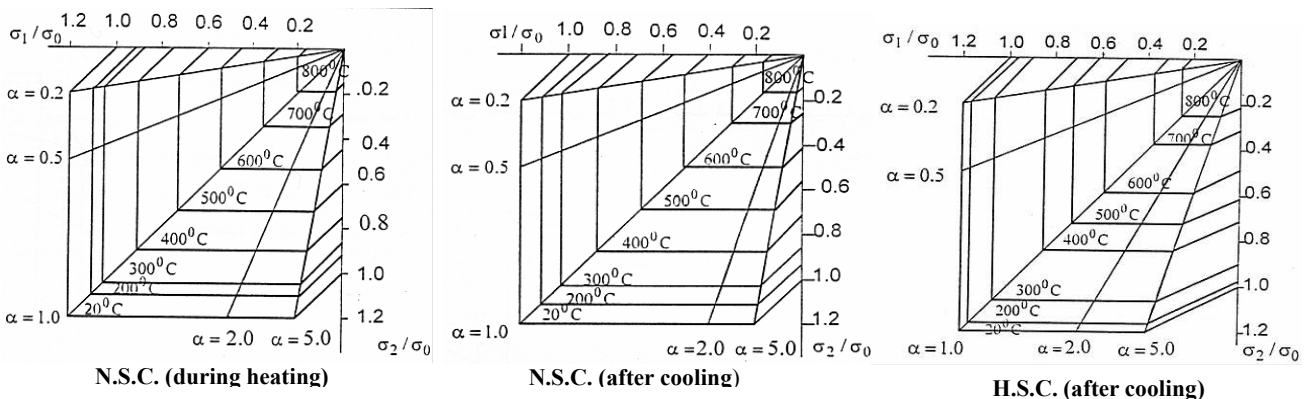
شكل (3-а) تغير مقاومة الشد في الخرسانة اعتيادية المقاومة

بعد التبريد (أثناء التسخين)



شكل (3-с) تغير مقاومة الشد في الخرسانة عالية المقاومة

(بعد التبريد)



شكل (4) مغلف الفشل ثانى الخور المقترن للخرسانة المتأيرة بدرجات الحرارة العالية

حيث ان :

$$\sigma_{oT} = \text{المقاومة القصوى للانضغاط احادي المحور فـي الخرسانة عند درجة الحرارة } T \text{ (N/mm}^2\text{)} \quad (4)$$

α : النسبة بين قيمتي الاجهاد الرئيسية .

غرض ايجاد الانفعال المتأثر بمختلف مستويات درجات الحرارة العالية عند ذروة الاجهاد تم اعتماد البيانات التي حصل عليها (Liu et al., 1972) في درجات الحرارة الاعتيادية . ولغرض ادخال تأثير الحرارة العالية باختلاف مستوياتها ، تم اقتراح اجراء تعديل مناسب بصيغة تتلائم مع واقع تأثير الخرسانة بالحرارة العالية وكما يأتي :

$$\epsilon_p = -0.0025 \xi \quad (\text{major direction}) \quad (4)$$

$$\epsilon_p = (500 + \zeta_1 \cdot \sigma_p) \cdot 10^{-6} \quad (\text{minor direction}) \quad (5)$$

حيث ان :

$$\zeta_1 = 0.0266(500 + \epsilon_p(\text{major}) \cdot 10^6) \quad \frac{\epsilon_T}{\epsilon_{20}} = \text{معامل زيادة الانفعال المتأثر بالحرارة العالية}$$

ان المعادله (5) مبنية على اساس ان قيمة مقاومة الانضغاط للخرسانة الناتجة من فحص الاجهاد ثانى المحور تساوى 31.33MPa ، ومن اجل ان يصبح بالامكان تطبيقها على انواع اخرى من الخرسانة وبقيم مقاومة الانضغاط مختلفة صار من الضروري اجراء التعديل الاتي (ACI-216R-81)

$$\epsilon_p = (500 + \zeta_1 * \sigma_p * \frac{-31.33}{\sigma_o}) * 10^{-6} \quad (6)$$

σ : قيمة مقاومة الانضغاط للخرسانة والتي تزيد او تقل عن 31.33MPa
ان علاقه الاجهاد – الانفعال للمادة اتجاهيه الخواص (Orthotropic) الواقعه تحت تأثير الاجهاد ثانية المحور تكون بالصيغه :

$$\begin{bmatrix} \sigma_1 \\ \sigma_2 \\ \tau_{12} \end{bmatrix} = \begin{bmatrix} \lambda' E'_{1b} / E'_{2b} & \lambda' v_1 & 0 \\ \lambda' v_1 & \lambda' & 0 \\ 0 & 0 & E'_{1b} E'_{2b} / (E'_{1b} + E'_{2b} + 2E'_{2b} v_2) \end{bmatrix} \begin{bmatrix} \epsilon_1 \\ \epsilon_2 \\ \gamma_{12} \end{bmatrix} \quad (7)$$

$$\begin{bmatrix} \tau_{13} \\ \tau_{23} \end{bmatrix} = \begin{bmatrix} E'_{1b} E_c / (E'_{1b} + E_c + 2E_c v_1) & 0 \\ 0 & E'_{2b} E_c / (E'_{2b} + E_c + 2E_c v_2) \end{bmatrix} \begin{bmatrix} \gamma_{13} \\ \gamma_{23} \end{bmatrix} \quad (8)$$

حيث ان في حالة الانضغاط ثانى المحور :

$$E'_{1b} = \frac{E [1 - (\epsilon_1 / \epsilon_p)^2]}{\left[1 + \left(\frac{E}{E_s (1 - \nu \alpha)} - 2 \right) \left(\frac{\epsilon_1}{\epsilon_p} \right) + \left(\frac{\epsilon_1}{\epsilon_p} \right)^2 \right]^2} \quad (9)$$

$$E'_{2b} = \frac{E [1 - (\epsilon_2 / \epsilon_p)^2]}{\left[1 + \left(\frac{E}{E_s (1 - \nu \alpha)} - 2 \right) \left(\frac{\epsilon_2}{\epsilon_p} \right) + \left(\frac{\epsilon_2}{\epsilon_p} \right)^2 \right]^2} \quad (10)$$

$$\lambda' = E'_{1b} / (E'_{1b} / E'_{2b} - \nu^2) \quad (11)$$

وفي حالة الشد ثانى المحور وحالة الشد – الانضغاط فان :

علاقات الاجهاد- الانفعال للخرسانة المتشقة

يتم فرض ان الشقوق تتشكل في المستوى العمودي على اتجاه اجهاد الشد الرئيسي الاعلى (Maximum principal Tensile Stress) عندما تصل قيمة هذا الاجهاد الى قيمة مقاومة الشد في الخرسانه (σ_c).

ونتيجة لهذه الشروق فإن الخرسانة تعامل كمادة اتجاهية الخواص بمحاور موازية وعمودية على اتجاه الشق في الخرسانة، لذا فإن قيمة معابر المرونة ونسبة بوسون ستختفي إلى الصفر في الاتجاه العمود على المستوى المتش襁ق مع تقليل معابر القص إلى قيمة G_{ij} ، عندما ستكتب علاقة الإجهاد – الانفعال للخرسانة المتشنشقة بالصيغة :

$$\begin{bmatrix} \sigma_1 \\ \sigma_2 \\ \tau_{12} \\ \tau_{13} \\ \tau_{23} \end{bmatrix} = \begin{bmatrix} 0 & 0 & 0 & 0 & 0 \\ 0 & C_1 E & 0 & 0 & 0 \\ 0 & 0 & G'_{12} & 0 & 0 \\ 0 & 0 & 0 & G'_{13} & 0 \\ 0 & 0 & 0 & 0 & G'_{23} \end{bmatrix} \begin{bmatrix} \epsilon_1 \\ \epsilon_2 \\ \gamma_{12} \\ \gamma_{13} \\ \gamma_{23} \end{bmatrix} \quad \dots \dots \dots \quad (12)$$

حيث ان $C_1=1.0$ في حالة حدوث الشقوق باتجاه واحد ، و (0.0) في حالة حدوث الشقوق باتجاهين . ان قيمة معابر القص $z_j^{'}$ للسطح المتشقق تخفض بمعامل مقداره (β) يسمى بمعامل استبقاء القص . وفي هذه الدراسة سيتم اعتبار قيمة ثابتة لهذا المعامل $(\beta=0.4)$ (Hand et al 1973) وكما يلي :

$$G'_{12} = 0.4G \quad ; \quad G'_{13} = 0.4G \quad ; \quad G'_{23} = G$$

للسنانة المتشفقة بالاتجاه الاول

$$G'_{12} = 0.4G \quad ; \quad G'_{13} = G \quad ; \quad G'_{23} = 0.4G \quad \text{للخزانة المنشقة بالاتجاه الثاني}$$

$$G'_{12} = 0.4G \quad ; \quad G'_{13} = 0.4G \quad ; \quad G'_{23} = 0.4G$$

للخزانة المشتقة بكل الاتجاهين

Tension Stiffening

چساعدة الشد

ان جسأة الشد (Gilbert et al.,1978) هي احدى الخواص الحقيقة للمواد ، وتعبر عن مدى قدرة الخرسانة السليمة بين السقوف (Intact Concrete) لنقل قوى الشد الداخلية بين شقين متلاقيين ، وان قيمة جسأة الشد تعتمد على خواص الارتباط بين الخرسانة وحديد التسليح ، ومقاومة الشد للخرسانة ، والمسافات بين

السوق ، فإنه إلى قدر حدته التسليح والزاوية بين التسوق وتحديد التسلیح .
في الدراسة الحالية سيتم منح من الدرجة الثانية للتعمير عن تأثير جسامة الشد كما موضح في شكل (5) ، ويمكن كتابة معادلة هذا المنحنى بالصيغة الآتية :

حیث ان :

A₁,A₂,A₃ قيم ثابتة يمكن ايجادها بوساطة استخدام قيمتين للاجهاد والانفعال .

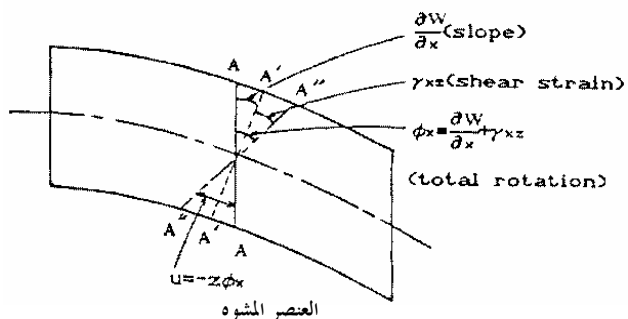
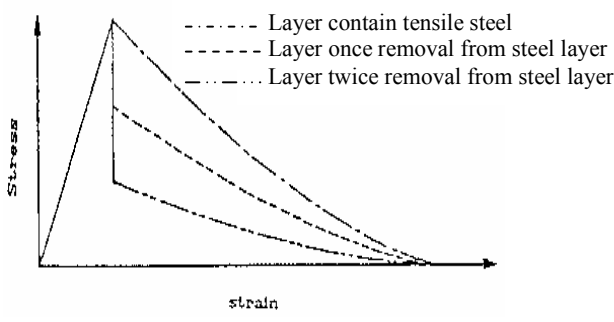
A : معامل يتحكم بتاثير جسأة الشد اعتمادا على موقع الطبقات المشقة بالنسبة لحديد التسلیح .

وکما یأتی :

. (Tensile steel) $A=1.0$ على حديد الشد لطبقية الحاوية

A=2/3 للطبقة التالية لطبقة الحدي

A=1/3 للطبقة ما بعد الطبقة التالية لطبقة الحديد.



شكلا (5) منحني علاقة الاجهاد - الانفعال للخر سانة في حالة الشد

شكل (6) التوزيع المفترض للانفعال ضمن سلك الصفيحة

تطبيق طريقة الفروقات المحددة

Finite-Difference Method Application

يتلخص اسلوب التحليل او حساب قيم الأود بالاعتماد على معادلة التوازن لصفائح :

$$\frac{\partial^2 M_x}{\partial x^2} + 2 \frac{\partial^2 M_{xy}}{\partial x \partial y} + \frac{\partial^2 M_y}{\partial y^2} = -q \quad \dots(14)$$

وباستخدام تقنية الاسترخاء الديناميكي و بدلاً من حل المعادلات الآتية بصورة مباشرة يتم اقتراح صيغة ديناميكية مناظرة ، ان الطريقة مبنية على افتراض ان العنصر الانشائي بتأثير القوى المستقرة المؤثرة يهتز بشكل حر في مانع نزج ، الى ان يستقر في النهاية بوضع متوازن جديد تحت تأثير القوى المسلطة ، بذلك تدعى الحاجة الى اضافة حدود التعبير عن التوجيه والسرعة ومعامل احمد اللزوجة (Viscous Damping Factor) الى معادلة التوازن المستقرة لصفحة ، وهذا يعطى صيغة معادلات بالشكل الديناميكي وان الحال يتم بالاسلوب التكراري لحين تحقيق التوصل الى حالة التوازن المستقر ، لذا فان صيغة المعادلة (14) تصبح بصيغة المعادلة الديناميكية الآتية :

$$-\frac{\partial^2 M_x}{\partial x^2} - 2 \frac{\partial^2 M_{xy}}{\partial x \partial y} - \frac{\partial^2 M_y}{\partial y^2} + D_f \frac{\partial w}{\partial t} + m \frac{\partial^2 w}{\partial t^2} = q \quad \dots(15)$$

حيث ان :

$$\frac{\partial^2 w}{\partial t^2} : \text{التعجيل} \quad m : \text{معامل الكتلة} \quad \frac{\partial w}{\partial t} : \text{السرعة} \quad D_f : \text{معامل الاحماد}$$

وباستخدام صيغة الفروقات المحددة يمكن التعبير عن السرعة عند كل زيادة وقت كما يأتي :

$$w_{(i)j}^o = \frac{1}{1 + 0.5Dv} \left[(1 - 0.5Dv)w_{(i)j-1}^o + \frac{\Delta t}{m} \left(\left(\frac{\partial^2 M_x}{\partial x^2} \right)_i + 2 \left(\frac{\partial^2 M_{xy}}{\partial x \partial y} \right)_i + \left(\frac{\partial^2 M_y}{\partial y^2} \right)_i + q_i \right) \right] \quad \dots(16)$$

كما يمكن التعبير عن قيمة الأود عند الحالة المستقرة (Static Condition) بالصيغة الآتية :

$$\sum_{k=1}^{k=j+0.5} w_{(i)k} = \sum_{k=1}^{k=j-0.5} w_{(i)k} + w_{(i)j}^o \Delta t \quad \dots(17)$$

حيث ان :

$$W^0 : \text{السرعة} \quad i : \text{رقم النقطة} \quad j : \text{الزيادة في الوقت} \quad \frac{D_f \Delta t}{m} : \text{معامل احمد اللزوجة}$$

يمكن تمثيل محددات الاسناد في الصفائح بالتعبير عن معادلات التوازن الرياضية في نقاط الاسناد والتي تتغير مع مختلف اشكال الاسناد ، بما يناظرها من صيغ الفروقات المحددة في تلك النقاط وبالاستفادة من واقع سلوك الصفيحة واسلوب ثبيتها. في حالة الصفائح ذات الاسناد البسيط تكون محددات الاسناد كما يلي .

$$\begin{aligned} w &= 0 \\ M_x &= 0 \\ \phi_y &= 0 \end{aligned} \quad \text{for } x \text{ is constant} \quad \begin{aligned} w &= 0 \\ M_y &= 0 \\ \phi_x &= 0 \end{aligned} \quad \text{for } y \text{ is constant} \quad \dots\dots\dots(18)$$

Results and Discussion

النتائج والمناقشة

تم تعریض صفيحة خرسانية مربعة الشكل (S₄) بطول 2m وسمك 130mm محملة بحمل موزع بانتظام على مدى مساحة الصفيحة ، الى تأثير مستوى حراري ثابت بمقادير 600°C وبددد تعرض مختلفة لغرض اختبار مدى تأثير مدة التعرض للحرارة العالية على تحمل الصفيحة (S₄) في اثناء تعرضها للحرارة العالية وبعد تبريدها الى درجات الحرارة الاعتيادية ، شكل (7) يوضح علاقة الحمل -الأود عندما يكون سطح نطاق الشد الصفيحة عرض تأثير الحرارة العالية . ولغرض التأكد من ان الزيادة في تحمل الصفيحة جاءت بالاساس بسبب تأثير الاكتساب في بعض خواص حديد التسليح تم اختبار الصفيحة (S₄) ولكن بدون تسليح وذات خرسانة اعتيادية المقاومة بنفس الخواص ومدد التعرض للحرارة القياسية العالية ، وكما موضح في شكل (8) فقد تبين ان تحمل الصفيحة بعد التبريد ينخفض وبشكل مستمر بدون حصول اكتساب عند اي مستوى من مستويات مدد التعرض المختلفة .

ولاختبار سلوك الصفيحة بأسلوب الفحص نفسه وبمستويات الحرارة المؤثرة ونسبة التسلیح نفسها ولكن باستخدام خرسانة عالية المقاومة ، تم اختبار الصفيحة (S₅) بخواص عالية المقاومة والموضحة في الجدول (1) ، وبين الشكل (9) علاقات الحمل الأود لتلك الصفيحة بعد تبريدها الى درجات الحرارة الاعتيادية ، ويلاحظ ان سلوكها مشابه لسلوك الصفيحة المسلحة اعтикаية المقاومة.

تأثير الحرارة العالية على الحمل الاقصى وحمل التشقق

يوضح الشكل (10) تأثير الحمل الاقصى وحمل التشقق للصفيحة (S₅) عند التأثير بمختلف مستويات الحرارة ولثلاث حالات ، الاولى حالة الصفيحة باستخدام خرسانة اعтикаية المقاومة في اثناء مرحلة التسخين ، والثانية حالة الصفيحة باستخدام خرسانة اعтикаية المقاومة بعد التبريد الى درجات الحرارة الاعتيادية ، والثالثة حالة الصفيحة باستخدام خرسانة عالية المقاومة ايضاً بعد تبریدها الى درجات الحرارة الاعتيادية ، ويمكن بوضوح ملاحظة التناقض المستمر في قوة التحمل القصوى للحالة الاولى والاكتساب الذي يصل اعلى قيمة عند درجة حرارة 300°C لكلا الحالتين الثانية والثالثة ، اما عن حمل التشقق فيلاحظ تناقض قيمته في الحالات الثلاث تكونه يعتمد على مقاومة الشد في الخرسانة والتي تتضمن باليوروبوليد وبالناتي لا يتاثر بنسبة الاكتساب الحاصلة في بعض خواص حديد التسلیح للصفيحة المبردة الى درجات الحرارة الاعتيادية .

Conclusions

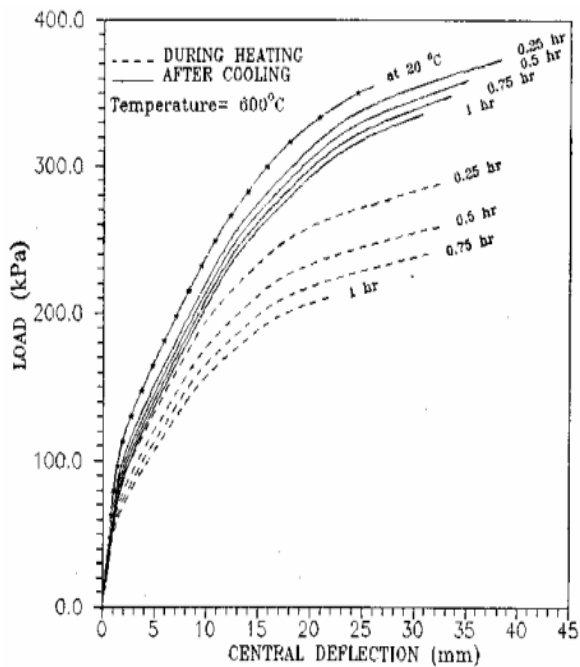
الاستنتاجات

من النتائج التحليلية التي تم الحصول عليها من البحث ، يمكن ادراج الاستنتاجات الآتية :-

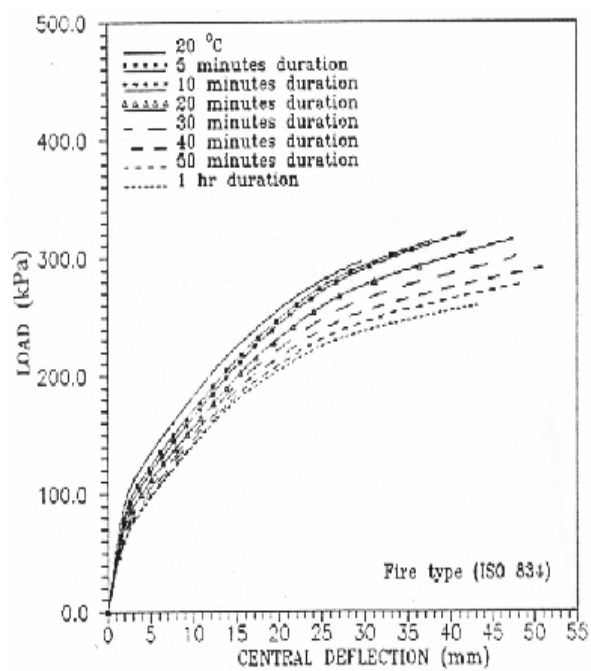
1. يستمر التناقض في تحمل الصفيحة عند تأثيرها بالحرارة العالية في اثناء مرحلة التسخين بنسبة متزايدة مع زيادة مستويات الحرارة المؤثرة ومدة التعرض لها وذلك لتأثير ارتفاع درجات الحرارة السطحي على الخصائص الهندسية لمكونات الصفيحة .
2. بعد زوال الحرارة المؤثرة والتبريد الى درجات الحرارة الاعتيادية يتناقض تحمل الصفائح الخرسانية المسلحة المتاثرة بمستويات حرارة عالية عند سطح نطاق الشد ، واحياناً يصل اكتساب نسبي في مقاومة الصفيحة وبقيمة لا تزيد عن 10% من مقاومتها الاصلية بسبب زيادة قيمة اجهاد الخضوع في الحديد تبعاً لمستوى الحرارة المؤثرة ومدة التعرض لها .
3. يكون تحمل الصفيحة بعد زوال الحرارة المؤثرة وتبريد الصفيحة الى درجات الحرارة الاعتيادية اعلى بالمقارنة مع تحملها في اثناء مرحلة التسخين بكافة مستويات الحرارة المؤثرة ومدد التعرض لها .
4. لمقاومة الانضغاط الاصلية للخلطات الخرسانية المختلفة تأثير قليل على سلوك الصفيحة الخرسانية بعد زوال تأثيرها بالحرارة العالية وتبریدها الى درجات الحرارة الاعتيادية .
5. لنوع وكمية حديد التسلیح المستخدم تأثير كبير على سلوك الصفيحة الخرسانية المسلحة بعد زوال تأثيرها بالحرارة العالية وتبریدها الى درجات الحرارة الاعتيادية .

جدول (1) خصائص الصفائح

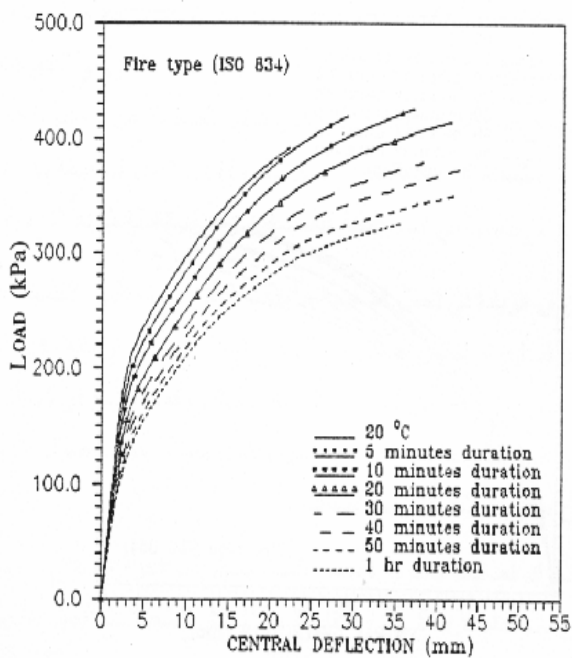
Slab	B. C	Lengt h (mm)	Aspe ct Ratio	Thic k (mm)	Asx (mm ²) Asy (mm ²)	Dx(mm) Dy(mm)	Cover (mm)	Fcl (MPa)	Ec (MPa)	Ft (MPa)	No.of Layer	Mesh Size
S ₄ N.S.C	S. S	2	1	130	1000 1000	108.4 108.4	20	30	27690	3.4	20	8×8
S ₅ H.S.C .	S. S	2.4	1	140	1100 1100	118.25 118.25	20	75	46545	8.14	20	8×8



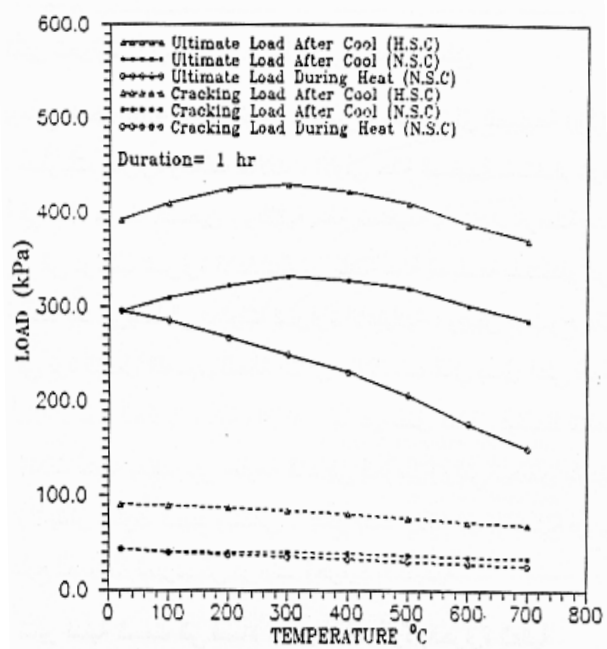
شكل (7) تأثير مدة الحريق عند سطح الشد على علاقـة الحـمل - الاـود (S4)
(اثـاء التـسخـين و بـعـد التـبريد)



شكل (8) تأثير مستويات مختلفة من الحرارة القياسية على حرارة الحـمل - الاـود
لـلـصـفـيـحة (S5) اـعـيـادـيـة المـقاـوـمـة (بـعـد التـبريد)



شكل (9) تأثير مستويات مختلفة من الحرارة القياسية على حرارة الحـمل - الاـود
لـلـصـفـيـحة (S5) اـعـيـادـيـة المـقاـوـمـة (بـعـد التـبريد)



شكل (10) عـلـاقـة الـحـمـل - الـحرـارـة لـلـصـفـيـحة (S5) اـعـيـادـيـة المـقاـوـمـة و عـالـيـة المـقاـوـمـة (اثـاء التـسخـين و بـعـد التـبريد)

المصادر

References

- Park , H. and Kim , E.H. , "RC Flat Plate Under Combined In-Plane and Out-of-Plane Loads" , Journal of Structural Engineering , Vol.125, No. 10, October , 1999 , pp. 1136-1142
- Mohamedbhai , G.T.G. , "Effect of Exposure Time and Rates of Heating and Cooling on Residual Strength of Heated Concrete" , Magazine of Concrete Research , Vol. 38 , No. 136 , September , 1986 , PP. 151-158
- Phan , L.T. and Carino , N.J. , "Review of Mechanical Properties of HSC at Elevated Temperature" Journal of Materials in Civil Engineering , February , 1998 , pp. 58-64.
- Holmes , M., Anchor , R.D. , Cook , G.M.E. and Crook , R.N., "The Effect of Elevated Temperatures on the Strength Properties of Reinforcing and Prestressing Steels" , The Journal of the Institution of Structural Engineers , Vol. 60 B , No.1 , March , 1982 , pp. 7-13.
- Huang , Z. , Burgess , L.W. and Plank , R.J. , " Nonlinear Analysis of Reinforced Concrete Slabs Subjected to Fire" , ACI Structural Journal , Vol. 96 , No.1 , July ,
- Said , A.H. , "Nonlinear Analysis of Reinforced Concrete Thick Plates at Elevated Temperature" , M.Sc. Thesis , University of Mosul, 1999.
- Krieth , F. , "Principle of Heat Transfere" Third Edition , Intext Press, 1973.
- Weigler , H. and Fischer , R. , "Influence of High Temperature on Strength and Deformation of Concrete" , Concrete for Nuclear Reactors , SP-34 , American Concrete Institute , Detroit , 1972 , PP. 481-493.
- Habeeb , G.M. , "Residual Mechanical Properties of High Strength Concrete Subjected to Elevated Temperatures" Ph.D. Thesis. Al-Mustansiriyah University , 2000
- Liu , T.C.Y. , Nilson , A.H. and Slate , F.O. , "Biaxial Stress-Strain Relations for Concrete" , Journal of Structural Division , ASCE , Vol.98 , No.ST5 , May , 1972 , pp. 1025-1034.
- ACI Committee (216R-81) , "Guide for Determining the Fire Endurance of Concrete Elements" , Concrete International Design and Construction , Vol. 3 , No. 2 , February , 1981.
- Hand ,F.R., Pecknold, D.A. and Schnobrich , W. C., "Nonlinear Layered Analysis of R.C. plates and Shells" , Journal of the Structural Division , ASCE , Vol. 99 , No. ST7 , July , 1973 , pp. 1491-1505
- Gilbert , R.I. and Warner , R.F. , "Tension Stiffening in Reinforced Concrete Slabs" , Journal of the Structural Division , ASCE , Vol.104, No.ST12 , December , 1978 , pp. 1885-1900.
- Speare , P.R.S. and Kemp , K.O. , "Shear Deformation in Elastic Homogenous and Sandwich Plates" , Proc. Instu. Civ. Engrs. , Vol.61, Part2 , December , 1976 , pp. 697-710.

RESIDUAL STRESSES OF REINFORCED CONCRETE PLATES AFTER HEATING AND COOLING

Prof. Dr. A.H.AHMAD *

BAN AMEEN SHENDALA **

ABSTRACT

In this study, a mathematical model simulating the behavior of reinforced concrete thick plate at elevated temperature is presented and the behavior of this plate after cooling to the ambient temperature is investigated. The modified incremental method for the nonlinear analysis in which cracking and crushing in concrete and yielding in steel is included, based on the small deflection Riessner's theory .A computer programs utilizing Finite – difference method with dynamic relaxation technique is presented to calculate the temperature distribution through out the Layered plate thickness . The program include the biaxial Loading in compression zone, and the deference effect of high temperature in tension and compression zone, as well as the original strength of concrete, area and type of reinforcement , plate thickness and concrete cover .

Keywords: Plates , Reinforced concrete , Nonlinear analysis , High temperature